

SCHÉMAS VOLUMES FINIS POUR LE PROBLÈME DE STOKES À VISCOSITÉ VARIABLE

Stella Krell

Institut National de recherche en Informatique et en Automatique,
Lille - Nord Europe, équipe SIMPAF.

Journées Gdr Calcul,
IHP, le 5 juillet 2011.

- 1 L'APPROCHE DDFV POUR LE PROBLÈME DE STOKES
- 2 LE PROBLÈME AVEC VISCOSITÉ DISCONTINUE
- 3 CONCLUSION

① L'APPROCHE DDFV POUR LE PROBLÈME DE STOKES

② LE PROBLÈME AVEC VISCOSITÉ DISCONTINUE

③ CONCLUSION

► Le problème

$$(S) \quad \left\{ \begin{array}{ll} \operatorname{div}(-\tau(D\mathbf{u}, p)) = \mathbf{f} & \text{dans } \Omega, \\ \operatorname{div}(\mathbf{u}) = 0 & \text{dans } \Omega, \\ \mathbf{u} = 0 & \text{sur } \partial\Omega, \\ \int_{\Omega} p(x) dx = 0. & \end{array} \right.$$

avec $D\mathbf{u} = \frac{1}{2}(\nabla\mathbf{u} + {}^t\nabla\mathbf{u})$, $\tau(D\mathbf{u}, p) = 2\eta D\mathbf{u} - p\operatorname{Id}$

- $\mathbf{f} \in (L^2(\Omega))^2$,
- $\eta \in C^2(\Omega)$ avec

$$0 < \underline{C}_\eta \leq \eta(x) \leq \overline{C}_\eta, \quad \forall x \in \Omega.$$

► Objectifs

- Ecrire un schéma DDFV bien posé pour (S).
- Démontrer des estimations d'erreur pour ce problème.

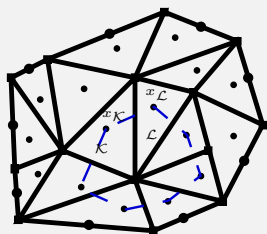
PROBLÈME DE STOKES (VISCOSITÉ CONSTANTE) PAR VOLUMES FINIS

- MAILLAGES DÉCALÉS

- Schémas MAC (Harlow-Welsh '65), (Nicolaidis '92)
Premiers schémas limités aux maillages rectangles
- Schéma cell-centered (Blanc-Eymard-Herbin '05)
- DDFV (Delcourte-Domelevo-Omnès '07), (K. '09)
≈ généralisation de MAC en maillage quelconque
- Schémas mimétiques (Beirao da Veiga-Lipnikov-Manzini et al '09)
(Beirao da Veiga-Lipnikov '10)

- SCHÉMAS COLOCALISÉS

- Schéma cell-centered (Eymard-Herbin-Latché '06 → '08)
- Schémas volumes finis mixtes (Droniou-Eymard '09)



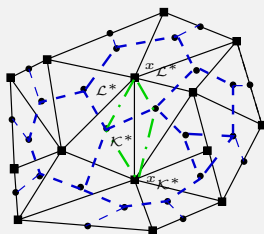
\blacktriangle maillage \mathfrak{M}

Mailles primales

$(\kappa, x_\kappa)_{\kappa \in \mathfrak{M}}$

$$\rightsquigarrow \mathbf{u}^{\mathfrak{M}} = (\mathbf{u}_\kappa)_{\kappa \in \mathfrak{M}} \quad \mathbf{u}^{\mathfrak{M}^*} = (\mathbf{u}_{\kappa^*})_{\kappa^* \in \mathfrak{M}^*}$$

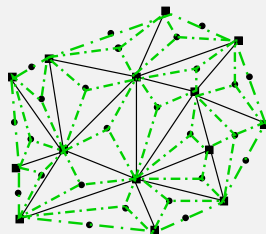
$$\rightsquigarrow \mathbf{u}^{\mathcal{T}} = (\mathbf{u}^{\mathfrak{M}}, \mathbf{u}^{\mathfrak{M}^*}),$$



\square maillage \mathfrak{M}^*

Mailles duales

$(\kappa^*, x_{\kappa^*})_{\kappa^* \in \mathfrak{M}^*}$



\square maillage \mathcal{D}

Mailles diamants

$(\mathcal{D}, x_{\mathcal{D}})_{\mathcal{D} \in \mathcal{D}}$

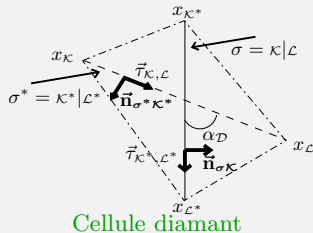
$$\rightsquigarrow p^{\mathcal{D}} = (p^{\mathcal{D}})_{\mathcal{D} \in \mathcal{D}}$$

$$\nabla^{\mathcal{D}} \mathbf{u}^{\mathcal{T}}$$

(Hermeline '00), (Domelevo-Omnès '05), (Andreianov-Boyer-Hubert '07)

$$\nabla^{\mathcal{D}} : (\mathbb{R}^2)^T \longrightarrow (\mathcal{M}_2(\mathbb{R}))^{\mathcal{D}}$$

$$\text{où } \begin{cases} \nabla^{\mathcal{D}} \mathbf{u}^{\mathcal{T}} \cdot (x_{\mathcal{L}} - x_{\mathcal{K}}) = \mathbf{u}_{\mathcal{L}} - \mathbf{u}_{\mathcal{K}}, \\ \nabla^{\mathcal{D}} \mathbf{u}^{\mathcal{T}} \cdot (x_{\mathcal{L}^*} - x_{\mathcal{K}^*}) = \mathbf{u}_{\mathcal{L}^*} - \mathbf{u}_{\mathcal{K}^*}. \end{cases}$$



$$\nabla^{\mathcal{D}} \mathbf{u}^{\mathcal{T}} = \frac{1}{\sin(\alpha_{\mathcal{D}})} \left(\frac{\mathbf{u}_{\mathcal{L}} - \mathbf{u}_{\mathcal{K}}}{m_{\sigma^*}} \otimes \tilde{\mathbf{n}}_{\sigma\mathcal{K}} + \frac{\mathbf{u}_{\mathcal{L}^*} - \mathbf{u}_{\mathcal{K}^*}}{m_{\sigma}} \otimes \tilde{\mathbf{n}}_{\sigma^*\mathcal{K}^*} \right).$$

$$\rightsquigarrow \mathbf{D}^{\mathcal{D}} \mathbf{u}^{\mathcal{T}} = \frac{1}{2} \left(\nabla^{\mathcal{D}} \mathbf{u}^{\mathcal{T}} + {}^t(\nabla^{\mathcal{D}} \mathbf{u}^{\mathcal{T}}) \right).$$

$$\rightsquigarrow \operatorname{div}^{\mathcal{D}} \mathbf{u}^{\mathcal{T}} = \operatorname{Tr} \nabla^{\mathcal{D}} \mathbf{u}^{\mathcal{T}}.$$

$$\rightsquigarrow \tau_{\mathcal{D}}(\mathbf{D}^{\mathcal{D}} \mathbf{u}^{\mathcal{T}}, p^{\mathcal{D}}) = 2\eta_{\mathcal{D}} \mathbf{D}^{\mathcal{D}} \mathbf{u}^{\mathcal{T}} - p^{\mathcal{D}} \operatorname{Id},$$

avec $\eta_{\mathcal{D}} = \eta(x_{\mathcal{D}})$.

DIVERGENCE DISCRÈTE $\mathbf{div}^{\mathcal{T}} : (\mathcal{M}_2(\mathbb{R}))^{\mathfrak{D}} \rightarrow (\mathbb{R}^2)^{\mathcal{T}}$

On s'inspire du continu :

$$\int_{\mathcal{K}} \mathbf{div} \xi = \sum_{\sigma \subset \partial \mathcal{K}} \int_{\sigma} \xi \cdot \vec{\mathbf{n}}.$$

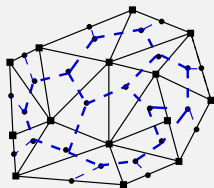
$$\kappa \in \mathfrak{M}, \quad \mathbf{div}^{\kappa} \xi^{\mathfrak{D}} = \frac{1}{m_{\kappa}} \sum_{\sigma \subset \partial \kappa} m_{\sigma} \xi^{\mathfrak{D}} \cdot \vec{\mathbf{n}}_{\sigma \kappa}.$$

$$\kappa^* \in \mathfrak{M}^* \cup \partial \mathfrak{M}^*, \quad \mathbf{div}^{\kappa^*} \xi^{\mathfrak{D}} = \frac{1}{m_{\kappa^*}} \sum_{\sigma^* \subset \partial \kappa^*} m_{\sigma^*} \xi^{\mathfrak{D}} \cdot \vec{\mathbf{n}}_{\sigma^* \kappa^*}.$$

FORMULE DE STOKES (Dualité Discrète)

$$\forall \xi^{\mathfrak{D}} \in (\mathcal{M}_2(\mathbb{R}))^{\mathfrak{D}}, \forall \mathbf{u}^{\mathcal{T}} \in \mathbb{E}_0$$

$$-\int_{\Omega} \mathbf{div}^{\mathcal{T}}(\xi^{\mathfrak{D}}) \cdot \mathbf{u}^{\mathcal{T}} = \int_{\Omega} \xi^{\mathfrak{D}} : \nabla^{\mathfrak{D}} \mathbf{u}^{\mathcal{T}}$$



avec $\mathbb{E}_0 = \{\mathbf{u}^{\mathcal{T}} \in \mathbb{R}^{\mathcal{T}}, \forall \kappa \in \partial \mathfrak{M}, \mathbf{u}_{\kappa} = 0, \forall \kappa^* \in \partial \mathfrak{M}^*, \mathbf{u}_{\kappa^*} = 0\}$.

$$\left\{ \begin{array}{l} \text{Trouver } \mathbf{u}^{\mathcal{T}} \in \mathbb{E}_0 \text{ et } p^{\mathcal{D}} \in \mathbb{R}^{\mathcal{D}} \text{ tels que,} \\ \operatorname{div}^{\mathfrak{m}}(-\tau^{\mathcal{D}}(\mathbf{D}^{\mathcal{D}} \mathbf{u}^{\mathcal{T}}, p^{\mathcal{D}})) = \mathbf{f}^{\mathfrak{m}}, \\ \operatorname{div}^{\mathfrak{m}^*}(-\tau^{\mathcal{D}}(\mathbf{D}^{\mathcal{D}} \mathbf{u}^{\mathcal{T}}, p^{\mathcal{D}})) = \mathbf{f}^{\mathfrak{m}^*}, \\ \operatorname{div}^{\mathcal{D}} \mathbf{u}^{\mathcal{T}} = 0, \quad \sum_{\mathcal{D} \in \mathcal{D}} m_{\mathcal{D}} p^{\mathcal{D}} = 0, \end{array} \right.$$

- **On ne sait pas si le problème est bien posé sur un maillage général.**
- En revanche, on sait qu'il est bien posé sur des maillages constitués de triangles conformes à angles aigus ou de rectangles non conformes.

(Delcourte, Domelevo, Omnès '07)

Que faire ?

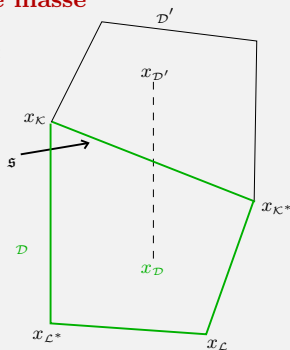
► Stabiliser l'équation de l'équation de bilan de masse

TERME DE STABILISATION À LA BREZZI-PITKÄRANTA :

$$\Delta^{\mathcal{D}} p^{\mathcal{D}} = \frac{1}{m_{\mathcal{D}}} \sum_{s=\mathcal{D}|\mathcal{D}' \in \partial \mathcal{D}} \frac{h_{\mathcal{D}}^2 + h_{\mathcal{D}'}^2}{h_{\mathcal{D}}^2} (p^{\mathcal{D}'} - p^{\mathcal{D}}),$$

$h_{\mathcal{D}}$ est le diamètre du diamant \mathcal{D} .

$$\begin{aligned} \int_{\mathcal{D}} \Delta p &= \sum_{s=\mathcal{D}|\mathcal{D}' \in \partial \mathcal{D}} \int_s \nabla p \cdot \vec{n}_{s\mathcal{D}} \\ &\sim \sum_{s=\mathcal{D}|\mathcal{D}' \in \partial \mathcal{D}} m_s \frac{p(x_{\mathcal{D}'}) - p(x_{\mathcal{D}})}{d_{\mathcal{D}', \mathcal{D}}} \sim \sum_{s=\mathcal{D}|\mathcal{D}' \in \partial \mathcal{D}} (p(x_{\mathcal{D}'}) - p(x_{\mathcal{D}})). \end{aligned}$$



(Eymard-Herbin-Latché '06)

► **Alternative possible (duale)** : approcher la pression aux centres et sommets et la vitesse sur les diamants, puis se ramener à des formulations en tourbillon, utilisant $\Delta = \nabla \text{div} - \text{curl curl}$.

(Delcourte, Domelevo, Omnès '07)

INÉGALITÉ DE KORN DISCRÈTE

Pour tout $\mathbf{u}^T \in \mathbb{E}_0$

$$\operatorname{div}^T \left({}^t \nabla^{\mathfrak{D}} \mathbf{u}^T \right) = \operatorname{div}^T \left(\operatorname{div}^{\mathfrak{D}} \mathbf{u}^T \operatorname{Id} \right).$$

THÉORÈME (INÉGALITÉ DE KORN DISCRÈTE)

Pour tout $\mathbf{u}^T \in \mathbb{E}_0$,

$$\| \mathbf{D}^{\mathfrak{D}} \mathbf{u}^T \|_2 \leq \| \nabla^{\mathfrak{D}} \mathbf{u}^T \|_2 \leq \sqrt{2} \| \mathbf{D}^{\mathfrak{D}} \mathbf{u}^T \|_2.$$

► On veut montrer que $\|\nabla^{\mathfrak{D}} \mathbf{u}^{\mathcal{T}}\|_2 \leq \sqrt{2} \|\mathbf{D}^{\mathfrak{D}} \mathbf{u}^{\mathcal{T}}\|_2$:

$$2\|\mathbf{D}^{\mathfrak{D}} \mathbf{u}^{\mathcal{T}}\|_2^2 = \|\nabla^{\mathfrak{D}} \mathbf{u}^{\mathcal{T}}\|_2^2 + \int_{\Omega} \left({}^t(\nabla^{\mathfrak{D}} \mathbf{u}^{\mathcal{T}}) : \nabla^{\mathfrak{D}} \mathbf{u}^{\mathcal{T}} \right).$$

On utilise la formule de Stokes discrète

$$\begin{aligned} \int_{\Omega} \left({}^t(\nabla^{\mathfrak{D}} \mathbf{u}^{\mathcal{T}}) : \nabla^{\mathfrak{D}} \mathbf{u}^{\mathcal{T}} \right) &= - \int_{\Omega} \mathbf{div}^{\mathcal{T}} \left({}^t(\nabla^{\mathfrak{D}} \mathbf{u}^{\mathcal{T}}) \right) \cdot \mathbf{u}^{\mathcal{T}} \\ &= - \int_{\Omega} \mathbf{div}^{\mathcal{T}}(\mathbf{div}^{\mathfrak{D}} \mathbf{u}^{\mathcal{T}} \text{Id}) \cdot \mathbf{u}^{\mathcal{T}} \end{aligned}$$

A nouveau grâce au Stokes discret et $\mathbf{div}^{\mathfrak{D}} \mathbf{u}^{\mathcal{T}} = (\text{Id} : \nabla^{\mathfrak{D}} \mathbf{u}^{\mathcal{T}})$:

$$\int_{\Omega} \left({}^t(\nabla^{\mathfrak{D}} \mathbf{u}^{\mathcal{T}}) : \nabla^{\mathfrak{D}} \mathbf{u}^{\mathcal{T}} \right) = \int_{\Omega} (\mathbf{div}^{\mathfrak{D}} \mathbf{u}^{\mathcal{T}} \text{Id} : \nabla^{\mathfrak{D}} \mathbf{u}^{\mathcal{T}}) = \|\mathbf{div}^{\mathfrak{D}} \mathbf{u}^{\mathcal{T}}\|_2^2 \geq 0.$$

$$\text{(S-DDFV)} \quad \left\{ \begin{array}{l}
 \text{Trouver } \mathbf{u}^{\mathcal{T}} \in \mathbb{E}_0 \text{ et } p^{\mathcal{D}} \in \mathbb{R}^{\mathcal{D}} \text{ tels que,} \\
 \mathbf{div}^{\mathfrak{M}}(-\tau^{\mathcal{D}}(\mathbf{D}^{\mathcal{D}} \mathbf{u}^{\mathcal{T}}, p^{\mathcal{D}})) = \mathbf{f}^{\mathfrak{M}}, \\
 \mathbf{div}^{\mathfrak{M}^*}(-\tau^{\mathcal{D}}(\mathbf{D}^{\mathcal{D}} \mathbf{u}^{\mathcal{T}}, p^{\mathcal{D}})) = \mathbf{f}^{\mathfrak{M}^*}, \\
 \mathbf{div}^{\mathcal{D}} \mathbf{u}^{\mathcal{T}} - \lambda h_{\mathcal{D}}^2 \Delta^{\mathcal{D}} p^{\mathcal{D}} = 0, \\
 \sum_{\mathcal{D} \in \mathfrak{D}} m_{\mathcal{D}} p^{\mathcal{D}} = 0,
 \end{array} \right.$$

on rappelle $\tau_{\mathcal{D}}(\mathbf{D}^{\mathcal{D}} \mathbf{u}^{\mathcal{T}}, p^{\mathcal{D}}) = 2\eta_{\mathcal{D}} \mathbf{D}^{\mathcal{D}} \mathbf{u}^{\mathcal{T}} - p^{\mathcal{D}} \text{Id}$.

(K. '09)

THÉORÈME (EXISTENCE ET UNICITÉ)

Soit \mathcal{T} un maillage DDFV.

Pour toute valeur de $\lambda > 0$, le schéma (S-DDFV) admet une **unique** solution.

Soient $\mathbf{u}^{\mathcal{T}} \in \mathbb{E}_0$ et $p^{\mathfrak{D}} \in \mathbb{R}^{\mathfrak{D}}$ tels que :

$$\left\{ \begin{array}{l} \text{Trouver } \mathbf{u}^{\mathcal{T}} \in \mathbb{E}_0 \text{ et } p^{\mathfrak{D}} \in \mathbb{R}^{\mathfrak{D}} \text{ tels que,} \\ \operatorname{div}^{\mathfrak{m}}(-\tau^{\mathfrak{D}}(\mathbf{D}^{\mathfrak{D}} \mathbf{u}^{\mathcal{T}}, p^{\mathfrak{D}})) = 0, \\ \operatorname{div}^{\mathfrak{m}^*}(-\tau^{\mathfrak{D}}(\mathbf{D}^{\mathfrak{D}} \mathbf{u}^{\mathcal{T}}, p^{\mathfrak{D}})) = 0, \\ \operatorname{div}^{\mathfrak{D}} \mathbf{u}^{\mathcal{T}} - \lambda h_{\mathfrak{D}}^2 \Delta^{\mathfrak{D}} p^{\mathfrak{D}} = 0, \quad \sum_{\mathfrak{D} \in \mathfrak{D}} m_{\mathfrak{D}} p^{\mathfrak{D}} = 0. \end{array} \right.$$

On utilise la **formule de Stokes discrète**

$$\int_{\Omega} \operatorname{div}^{\mathcal{T}}(-\tau^{\mathfrak{D}}(\mathbf{D}^{\mathfrak{D}} \mathbf{u}^{\mathcal{T}}, p^{\mathfrak{D}})) \cdot \mathbf{u}^{\mathcal{T}} = \int_{\Omega} \left(2\eta^{\mathfrak{D}} \mathbf{D}^{\mathfrak{D}} \mathbf{u}^{\mathcal{T}} : \mathbf{D}^{\mathfrak{D}} \mathbf{u}^{\mathcal{T}} \right) - \int_{\Omega} \operatorname{div}^{\mathfrak{D}} \mathbf{u}^{\mathcal{T}} p^{\mathfrak{D}}.$$

L'équation de conservation de la masse donne

$$- \int_{\Omega} \operatorname{div}^{\mathfrak{D}} \mathbf{u}^{\mathcal{T}} p^{\mathfrak{D}} = - \int_{\Omega} \lambda h_{\mathfrak{D}}^2 \Delta^{\mathfrak{D}} p^{\mathfrak{D}} p^{\mathfrak{D}} = \lambda |p^{\mathfrak{D}}|_h^2,$$

$$\text{où } |p^{\mathfrak{D}}|_h^2 = \sum_{s \in \mathfrak{S}} (h_{\mathfrak{D}}^2 + h_{\mathfrak{D}'}^2) (p^{\mathfrak{D}'} - p^{\mathfrak{D}})^2 \sim \mathbf{h}^2 \|\mathbf{p}\|_{\mathbf{H}^1}^2.$$

On utilise l'inégalité de Korn discrète :

$$0 = \int_{\Omega} \mathbf{div}^{\mathcal{T}}(-\tau^{\mathfrak{D}}(\mathbf{D}^{\mathfrak{D}} \mathbf{u}^{\mathcal{T}}, p^{\mathfrak{D}})) \cdot \mathbf{u}^{\mathcal{T}} \geq \underline{C}_{\eta} \|\nabla^{\mathfrak{D}} \mathbf{u}^{\mathcal{T}}\|_2^2 + \lambda |p^{\mathfrak{D}}|_h^2.$$

On trouve donc

$$\|\nabla^{\mathfrak{D}} \mathbf{u}^{\mathcal{T}}\|_2^2 = 0 \quad \text{et} \quad |p^{\mathfrak{D}}|_h^2 = 0.$$

D'où $\mathbf{u}^{\mathcal{T}} = \mathbf{0}$ et $p^{\mathfrak{D}} = c$. Par la condition de normalisation $\sum_{\mathcal{D} \in \mathfrak{D}} m_{\mathcal{D}} p^{\mathcal{D}} = 0$,

on obtient $p^{\mathfrak{D}} = 0$.

THÉORÈME (ESTIMATIONS D'ERREUR)

Soit \mathcal{T} un maillage DDFV général.

On note $(\mathbf{u}^{\mathcal{T}}, p^{\mathfrak{D}}) \in (\mathbb{R}^2)^{\mathcal{T}} \times \mathbb{R}^{\mathfrak{D}}$ la solution du schéma (S-DDFV).

On suppose

- η est C^2 sur $\overline{\Omega}$
- La solution exacte du problème vérifie $(\mathbf{u}, p) \in (H^2(\Omega))^2 \times H^1(\Omega)$,

Alors il existe $C > 0$:

$$\|\mathbf{u} - \mathbf{u}^{\mathcal{T}}\|_2 + \|\nabla \mathbf{u} - \nabla^{\mathfrak{D}} \mathbf{u}^{\mathcal{T}}\|_2 \leq C \text{size}(\mathcal{T}),$$

et

$$\|p - p^{\mathfrak{D}}\|_2 \leq C \text{size}(\mathcal{T}).$$

Taux de convergence “optimal”.

► La forme bilinéaire associée au problème :

$$B(\mathbf{u}^{\mathcal{T}}, p^{\mathcal{D}}; \tilde{\mathbf{u}}^{\mathcal{T}}, \tilde{p}^{\mathcal{D}}) = \int_{\Omega} \operatorname{div}^{\mathcal{T}}(-\tau^{\mathcal{D}}(\mathbf{D}^{\mathcal{D}} \mathbf{u}^{\mathcal{T}}, p^{\mathcal{D}})) \cdot \tilde{\mathbf{u}}^{\mathcal{T}} \\ + \int_{\Omega} (\operatorname{div}^{\mathcal{D}} \mathbf{u}^{\mathcal{T}} - \lambda h_{\mathcal{D}}^2 \Delta^{\mathcal{D}} p^{\mathcal{D}}) \tilde{p}^{\mathcal{D}}.$$

On sait qu'on n'a pas la coercivité au sens traditionnel

$$\|\nabla^{\mathcal{D}} \mathbf{u}^{\mathcal{T}}\|_2^2 + \|p^{\mathcal{D}}\|_2^2 \leq C_2 B(\mathbf{u}^{\mathcal{T}}, p^{\mathcal{D}}; \mathbf{u}^{\mathcal{T}}, p^{\mathcal{D}}).$$

On a seulement une estimation

$$\|\nabla^{\mathcal{D}} \mathbf{u}^{\mathcal{T}}\|_2^2 + \lambda |p^{\mathcal{D}}|_h^2 \leq C_2 B(\mathbf{u}^{\mathcal{T}}, p^{\mathcal{D}}; \mathbf{u}^{\mathcal{T}}, p^{\mathcal{D}}),$$

avec $|p^{\mathcal{D}}|_h^2 = \sum_{s \in \mathfrak{S}} (h_{\mathcal{D}}^2 + h_{\mathcal{D}'}^2) (p^{\mathcal{D}'} - p^{\mathcal{D}})^2$.

► La forme bilinéaire associée au problème :

$$\begin{aligned}
 B(\mathbf{u}^{\mathcal{T}}, p^{\mathcal{D}}; \tilde{\mathbf{u}}^{\mathcal{T}}, \tilde{p}^{\mathcal{D}}) &= \int_{\Omega} \operatorname{div}^{\mathcal{T}}(-\tau^{\mathcal{D}}(\mathbf{D}^{\mathcal{D}} \mathbf{u}^{\mathcal{T}}, p^{\mathcal{D}})) \cdot \tilde{\mathbf{u}}^{\mathcal{T}} \\
 &\quad + \int_{\Omega} (\operatorname{div}^{\mathcal{D}} \mathbf{u}^{\mathcal{T}} - \lambda h_{\mathcal{D}}^2 \Delta^{\mathcal{D}} p^{\mathcal{D}}) \tilde{p}^{\mathcal{D}}.
 \end{aligned}$$

On sait qu'on n'a pas la coercivité au sens traditionnel

$$\|\nabla^{\mathcal{D}} \mathbf{u}^{\mathcal{T}}\|_2^2 + \|p^{\mathcal{D}}\|_2^2 \leq C_2 B(\mathbf{u}^{\mathcal{T}}, p^{\mathcal{D}}; \mathbf{u}^{\mathcal{T}}, p^{\mathcal{D}}).$$

On a seulement une estimation

$$\|\nabla^{\mathcal{D}} \mathbf{u}^{\mathcal{T}}\|_2^2 + \lambda |p^{\mathcal{D}}|_h^2 \leq C_2 B(\mathbf{u}^{\mathcal{T}}, p^{\mathcal{D}}; \mathbf{u}^{\mathcal{T}}, p^{\mathcal{D}}),$$

avec $|p^{\mathcal{D}}|_h^2 = \sum_{s \in \mathcal{E}} (h_{\mathcal{D}}^2 + h_{\mathcal{D}'}^2) (p^{\mathcal{D}'} - p^{\mathcal{D}})^2$.

► Idée : Trouver $\tilde{\mathbf{u}}^{\mathcal{T}}, \tilde{p}^{\mathcal{D}}$ ($\approx \mathbf{u}^{\mathcal{T}}, p^{\mathcal{D}}$) pour avoir l'inégalité inf-sup

$$\|\nabla^{\mathcal{D}} \mathbf{u}^{\mathcal{T}}\|_2 + \|p^{\mathcal{D}}\|_2 \leq C_2 \frac{B(\mathbf{u}^{\mathcal{T}}, p^{\mathcal{D}}; \tilde{\mathbf{u}}^{\mathcal{T}}, \tilde{p}^{\mathcal{D}})}{\|\nabla^{\mathcal{D}} \tilde{\mathbf{u}}^{\mathcal{T}}\|_2 + \|\tilde{p}^{\mathcal{D}}\|_2}.$$

(Eymard-Herbin-Latché '06)

► La forme bilinéaire associée au problème :

$$B(\mathbf{u}^{\mathcal{T}}, p^{\mathcal{D}}; \tilde{\mathbf{u}}^{\mathcal{T}}, \tilde{p}^{\mathcal{D}}) = \int_{\Omega} \operatorname{div}^{\mathcal{T}}(-\tau^{\mathcal{D}}(\mathbf{D}^{\mathcal{D}} \mathbf{u}^{\mathcal{T}}, p^{\mathcal{D}})) \cdot \tilde{\mathbf{u}}^{\mathcal{T}} \\ + \int_{\Omega} (\operatorname{div}^{\mathcal{D}} \mathbf{u}^{\mathcal{T}} - \lambda h_{\mathcal{D}}^2 \Delta^{\mathcal{D}} p^{\mathcal{D}}) \tilde{p}^{\mathcal{D}}.$$

PROPOSITION (STABILITÉ DE (S-DDFV))

Pour tout $(\mathbf{u}^{\mathcal{T}}, p^{\mathcal{D}}) \in \mathbb{E}_0 \times \mathbb{R}^{\mathcal{D}}$ avec $\sum_{\mathcal{D} \in \mathcal{D}} m_{\mathcal{D}} p^{\mathcal{D}} = 0$, il existe $(\tilde{\mathbf{u}}^{\mathcal{T}}, \tilde{p}^{\mathcal{D}}) \in \mathbb{E}_0 \times \mathbb{R}^{\mathcal{D}}$ et $C_1, C_2 > 0$:

$$\|\nabla^{\mathcal{D}} \tilde{\mathbf{u}}^{\mathcal{T}}\|_2 + \|\tilde{p}^{\mathcal{D}}\|_2 \leq C_1 (\|\nabla^{\mathcal{D}} \mathbf{u}^{\mathcal{T}}\|_2 + \|p^{\mathcal{D}}\|_2),$$

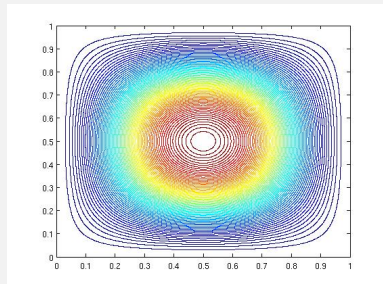
et

$$\|\nabla^{\mathcal{D}} \mathbf{u}^{\mathcal{T}}\|_2^2 + \|p^{\mathcal{D}}\|_2^2 \leq C_2 B(\mathbf{u}^{\mathcal{T}}, p^{\mathcal{D}}; \tilde{\mathbf{u}}^{\mathcal{T}}, \tilde{p}^{\mathcal{D}}).$$

$$\mathbf{u}(x, y) = \begin{pmatrix} 1000x^2(1-x)^2 2y(1-y)(1-2y) \\ -1000y^2(1-y)^2 2x(1-x)(1-2x) \end{pmatrix},$$

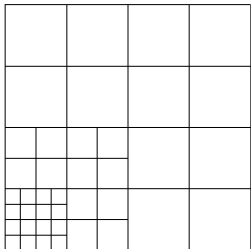
$$p(x, y) = x^2 + y^2 - \frac{2}{3},$$

$$\eta(x, y) = 2x + y + 1.$$



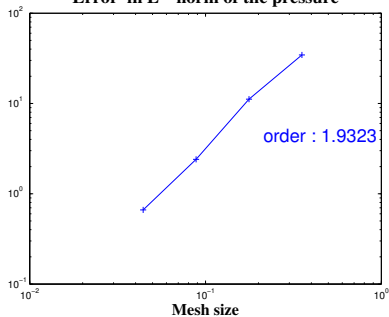
Lignes de courant

Maillage



$$\|p - p^{\mathfrak{S}}\|_2 / \|p\|_2$$

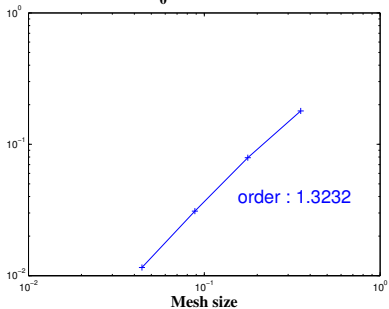
Error in L^2 -norm of the pressure



Ordre = 1.9

$$\|\mathbf{u} - \mathbf{u}^{\mathcal{T}}\|_{H_0^1} / \|\mathbf{u}\|_{H_0^1}$$

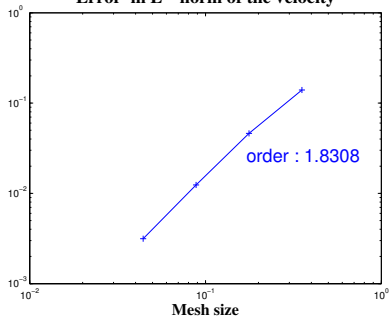
Error in H_0^1 -norm of the velocity



Ordre = 1.3

$$\|\mathbf{u} - \mathbf{u}^{\mathcal{T}}\|_2 / \|\mathbf{u}\|_2$$

Error in L^2 -norm of the velocity

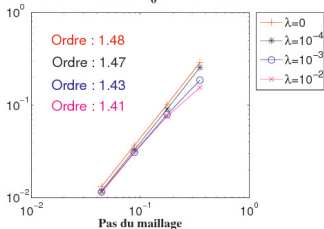


Ordre = 1.8

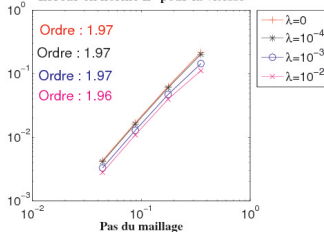
$$\|\mathbf{u} - \mathbf{u}^\tau\|_{H_0^1} / \|\mathbf{u}\|_{H_0^1}$$

$$\|\mathbf{u} - \mathbf{u}^\tau\|_2 / \|\mathbf{u}\|_2$$

Erreur en norme H_0^1 pour la vitesse

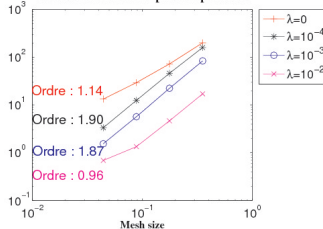


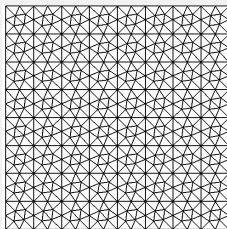
Erreur en norme L^2 pour la vitesse



$$\|p - p^{\mathcal{D}}\|_2 / \|p\|_2$$

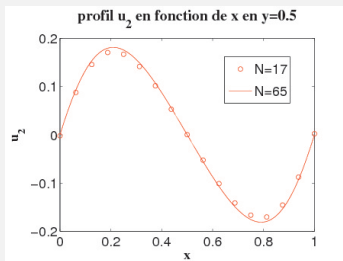
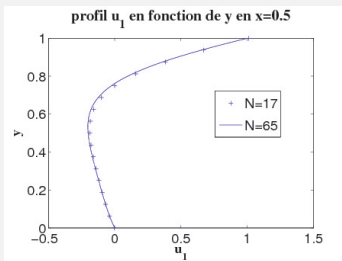
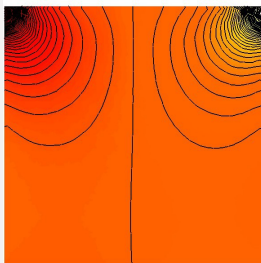
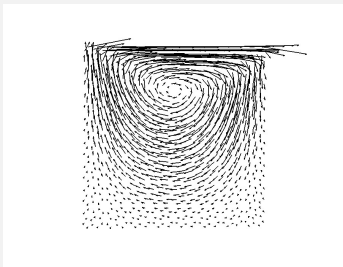
Erreur en norme L^2 pour la pression





↪ On choisit les points : $(x_{\kappa})_{\kappa \in \mathfrak{M}}$ aux centres de gravité des triangles.

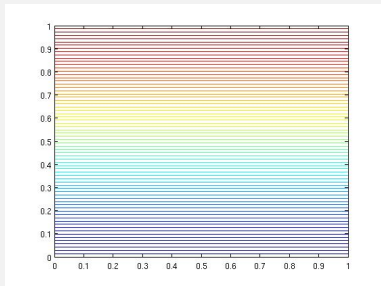
$$\left\{ \begin{array}{ll} \operatorname{div}(-10^{-4} \nabla \mathbf{u} + p \operatorname{Id}) = 0 & \text{dans } \Omega, \\ \operatorname{div}(\mathbf{u}) = 0 & \text{dans } \Omega, \\ \mathbf{u} = \begin{cases} (1, 0) & \text{si } (x, y) \in A := \{(z, 1), 0 \leq z \leq 1\} \\ (0, 0) & \text{si } (x, y) \in \partial\Omega \setminus A \end{cases} \end{array} \right.$$



$$\mathbf{u}(x, y) = \begin{pmatrix} \begin{cases} y^2 - 0.5y & \text{pour } y > 0.5 \\ 10^4(y^2 - 0.5y) & \text{sinon.} \end{cases} \\ 0 \end{pmatrix},$$

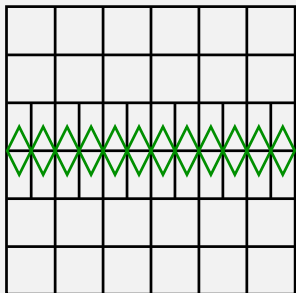
$$p(x, y) = 2x - 1,$$

$$\eta(x, y) = \begin{cases} 1 & \text{pour } y > 0.5 \\ 10^{-4} & \text{sinon.} \end{cases}$$



Lignes de courant

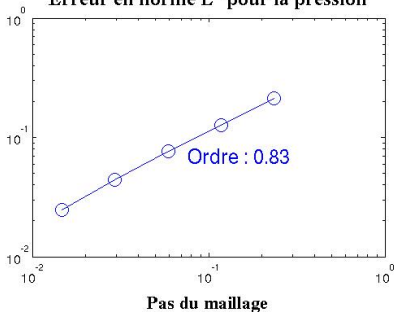
Maillage



Maillage respecte la discontinuité de η
 (i.e. η constante sur κ)
 mais η est discontinue sur \mathcal{D}
 \rightsquigarrow Problème pour définir $\eta_{\mathcal{D}}$.

$$\|p - p^{\mathcal{D}}\|_2 / \|p\|_2$$

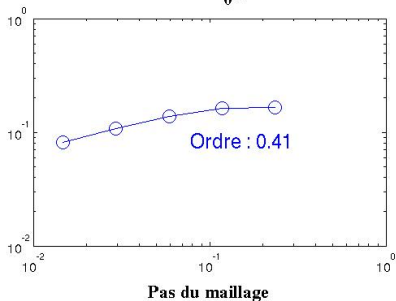
Erreur en norme L^2 pour la pression



Ordre = 0.83

$$\|\mathbf{u} - \mathbf{u}^{\mathcal{T}}\|_{H_0^1} / \|\mathbf{u}\|_{H_0^1}$$

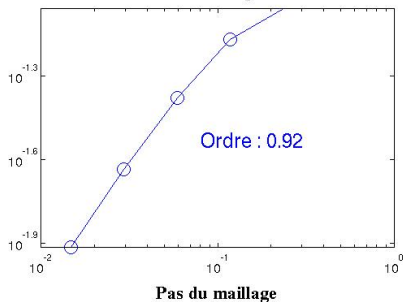
Erreur en norme H_0^1 pour la vitesse



Ordre = 0.41

$$\|\mathbf{u} - \mathbf{u}^{\mathcal{T}}\|_2 / \|\mathbf{u}\|_2$$

Erreur en norme L^2 pour la vitesse



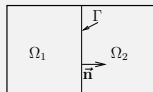
Ordre = 0.92

- 1 L'APPROCHE DDFV POUR LE PROBLÈME DE STOKES
- 2 LE PROBLÈME AVEC VISCOSITÉ DISCONTINUE
- 3 CONCLUSION

$$(S_\Gamma) \left\{ \begin{array}{ll} \operatorname{div}(-\tau(\mathbf{D}\mathbf{u}, p)) = \mathbf{f}, & \text{dans } \Omega_i, \\ \operatorname{div}(\mathbf{u}) = 0, & \text{dans } \Omega_i, \\ \mathbf{u} = 0, & \text{sur } \partial\Omega, \\ [\mathbf{u}] = [\tau(\mathbf{D}\mathbf{u}, p)] \vec{\mathbf{n}} = 0, & \text{sur } \Gamma, \end{array} \right. \quad \int_{\Omega} p(x) dx = 0,$$

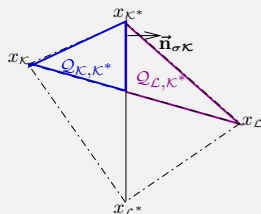
avec $\mathbf{D}\mathbf{u} = \frac{1}{2}(\nabla\mathbf{u} + {}^t\nabla\mathbf{u})$ et $\tau(\mathbf{D}\mathbf{u}, p) = 2\eta\mathbf{D}\mathbf{u} - p\operatorname{Id}$.

- $\Omega_1 \cap \Omega_2 = \emptyset$ et $\overline{\Omega} = \overline{\Omega_1} \cup \overline{\Omega_2}$,
- $\Gamma = \partial\Omega_1 \cap \partial\Omega_2$,



- $\vec{\mathbf{n}}$ est une normale à Γ et $[a] = (a|_{\Omega_1} - a|_{\Omega_2})|_{\Gamma}$ est le saut sur Γ .
- **Viscosité η constante par morceaux** : $\eta(x) = \eta_i$ pour $x \in \Omega_i$.

- $\mathbf{u} \in (H^1(\Omega))^2$, $\mathbf{u}|_{\Omega_i} \in (H^2(\Omega_i))^2$, pour $i = 1, 2$,
 $p \in L^2(\Omega)$, $p|_{\Omega_i} \in H^1(\Omega_i)$, pour $i = 1, 2$,
 réguliers, si Ω et \mathbf{f} sont



Tenseur des contraintes $\tau(\mathbf{Du}, p) = 2\eta\mathbf{Du} - p\text{Id}$.
 \rightsquigarrow **Conservativité locale** à travers $[x_{K^*}, x_D]$:

$$\int_{[x_{K^*}, x_D]} \tau|_{Q_{K, K^*}}(\mathbf{u}, p) \vec{\mathbf{n}}_{\sigma K} ds$$

$$= \int_{[x_{K^*}, x_D]} \tau|_{Q_{L, K^*}}(\mathbf{u}, p) \vec{\mathbf{n}}_{\sigma K} ds.$$

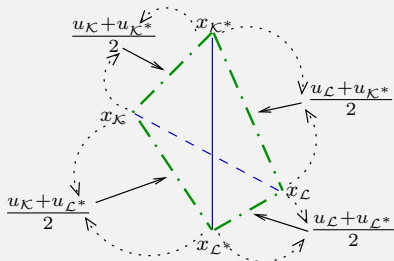
Il faut définir sur chaque quart de diamant

- une nouvelle inconnue en pression p^Q
- un nouveau tenseur des taux de déformation $D_Q^N \mathbf{u}^T$

Il faut assurer la conservativité des tenseurs des contraintes discrets τ_Q :

$$\implies \tau_Q = 2\eta_Q D_Q^N \mathbf{u}^T - p^Q \text{Id},$$

avec $\eta_Q = \eta(x_Q)$.



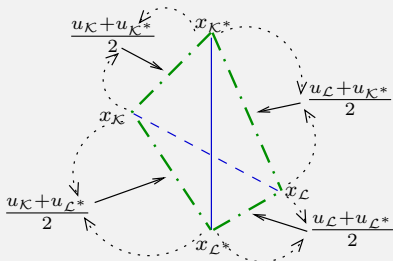
Cas scalaire

Remarque :

$$\nabla^{\mathcal{D}} u^{\mathcal{T}} = \nabla \Pi_{\mathcal{D}} u^{\mathcal{T}},$$

où $\Pi_{\mathcal{D}} u^{\mathcal{T}}$ est l'unique fonction affine

$$\Pi_{\mathcal{D}} u^{\mathcal{T}} \left(\frac{x_K + x_{K^*}}{2} \right) = \frac{u_K + u_{K^*}}{2}, \dots$$



Cas scalaire

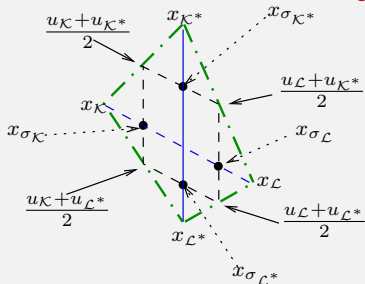
Remarque :

$$\nabla^D u^T = \nabla \Pi_D u^T,$$

où $\Pi_D u^T$ est l'unique fonction affine

$$\Pi_D u^T \left(\frac{x_K + x_{K^*}}{2} \right) = \frac{u_K + u_{K^*}}{2}, \dots$$

On construit un nouveau **gradient constant sur chaque quart diamant** :

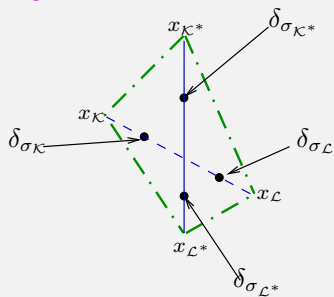


$$\nabla_Q^N u^T = \nabla \tilde{\Pi}_D u^T|_Q, \quad \forall Q \subset D,$$

où $\tilde{\Pi}_D u^T$ une fonction affine sur chaque Q

- coïncide avec $\Pi_D u^T$ au milieu des arêtes du diamant D
- continue en $x_{\sigma_K}, x_{\sigma_L}, x_{\sigma_{K^*}}, x_{\sigma_{L^*}}$.

$\nabla_{\mathcal{Q}}^{\mathcal{N}} u^{\mathcal{T}}$ déterminé par $u^{\mathcal{T}}$ et les valeurs $\tilde{\Pi}_{\mathcal{D}} u^{\mathcal{T}}(x_{\sigma})$.



Cas scalaire :

$$\delta_{\sigma} = \tilde{\Pi}_{\mathcal{D}} u^{\mathcal{T}}(x_{\sigma}) - \Pi_{\mathcal{D}} u^{\mathcal{T}}(x_{\sigma}),$$

$$\rightsquigarrow \delta^{\mathcal{D}} = (\delta_{\sigma_K}, \delta_{\sigma_L}, \delta_{\sigma_{K^*}}, \delta_{\sigma_{L^*}})^t$$

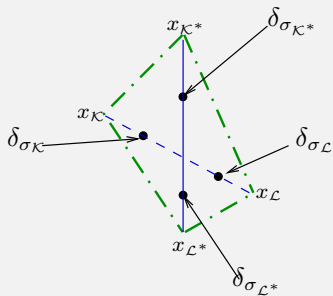
$\nabla \tilde{\Pi}_{\mathcal{D}} u^{\mathcal{T}} - \nabla \Pi_{\mathcal{D}} u^{\mathcal{T}}$ dépend linéairement de $\delta^{\mathcal{D}}$

\rightsquigarrow Existence de matrices $B_{\mathcal{Q}}$

$$\rightsquigarrow \nabla_{\mathcal{Q}}^{\mathcal{N}} u^{\mathcal{T}} = \nabla^{\mathcal{D}} u^{\mathcal{T}} + B_{\mathcal{Q}} \delta^{\mathcal{D}}, \forall \mathcal{Q} \subset \mathcal{D}.$$

(Boyer, Hubert '08)

$\nabla_{\mathcal{Q}}^{\mathcal{N}} u^{\mathcal{T}}$ déterminé par $u^{\mathcal{T}}$ et les valeurs $\tilde{\Pi}_{\mathcal{D}} u^{\mathcal{T}}(x_{\sigma})$.



Cas scalaire :

$$\delta_{\sigma} = \tilde{\Pi}_{\mathcal{D}} u^{\mathcal{T}}(x_{\sigma}) - \Pi_{\mathcal{D}} u^{\mathcal{T}}(x_{\sigma}),$$

$$\rightsquigarrow \delta^{\mathcal{D}} = (\delta_{\sigma_K}, \delta_{\sigma_L}, \delta_{\sigma_{K*}}, \delta_{\sigma_{L*}})^t$$

$\nabla \tilde{\Pi}_{\mathcal{D}} u^{\mathcal{T}} - \nabla \Pi_{\mathcal{D}} u^{\mathcal{T}}$ dépend linéairement de $\delta^{\mathcal{D}}$

\rightsquigarrow Existence de matrices $B_{\mathcal{Q}}$

Cas vectoriel :

$$\rightsquigarrow \nabla_{\mathcal{Q}}^{\mathcal{N}} u^{\mathcal{T}} = \nabla^{\mathcal{D}} u^{\mathcal{T}} + {}^t(B_{\mathcal{Q}} \delta^{\mathcal{D}}), \forall \mathcal{Q} \subset \mathcal{D}.$$

- $B_{\mathcal{Q}}$ est une matrice 2×4 ne dépendant que de la géométrie de \mathcal{Q} .
- $\delta^{\mathcal{D}} = (\delta_{\sigma_K}, \delta_{\sigma_L}, \delta_{\sigma_{K*}}, \delta_{\sigma_{L*}})^t$ sont 8 inconnues artificielles à déterminer.
- $B_{\mathcal{Q}_{\mathcal{K}, \mathcal{K}^*}} = \frac{1}{m_{\mathcal{Q}_{\mathcal{K}, \mathcal{K}^*}}} (m_{\sigma_K} \vec{n}_{\mathcal{K}^* \mathcal{L}^*}, 0, m_{\sigma_{K^*}} \vec{n}_{\mathcal{K} \mathcal{L}}, 0)$.

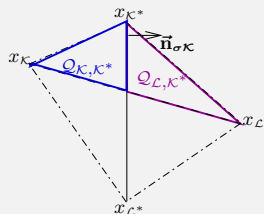
$$\rightsquigarrow D_{\mathcal{Q}}^{\mathcal{N}} u^{\mathcal{T}} = \frac{1}{2} \left(\nabla_{\mathcal{Q}}^{\mathcal{N}} u^{\mathcal{T}} + {}^t \nabla_{\mathcal{Q}}^{\mathcal{N}} u^{\mathcal{T}} \right), \forall \mathcal{Q} \subset \mathcal{D}.$$

Le tenseur des contraintes discret s'écrit alors

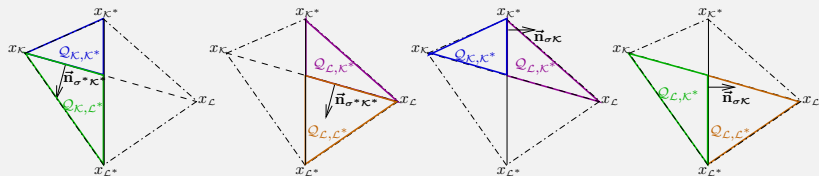
$$\tau_{\mathcal{Q}}(\mathbf{D}^{\mathcal{D}} \mathbf{u}^{\mathcal{T}}, \delta) = \eta_{\mathcal{Q}}(2\mathbf{D}^{\mathcal{D}} \mathbf{u}^{\mathcal{T}} + B_{\mathcal{Q}} \delta^{\mathcal{D}} + {}^t(B_{\mathcal{Q}} \delta^{\mathcal{D}})) - \mathbf{p}^{\mathcal{Q}} \text{Id}.$$

Comment déterminer les nouvelles inconnues $\delta = (\delta^{\mathcal{D}}, \mathbf{p}^{\frac{\mathcal{Q}}{\mathcal{D}}})$?

► CONSERVATIVITÉ LOCALE DES FLUX DISCRETS



$$\tau_{\mathcal{Q}_{K,K^*}}(\mathbf{D}^{\mathcal{D}} \mathbf{u}^{\mathcal{T}}, \delta) \bar{\mathbf{n}}_{\sigma K} = \tau_{\mathcal{Q}_{L,K^*}}(\mathbf{D}^{\mathcal{D}} \mathbf{u}^{\mathcal{T}}, \delta) \bar{\mathbf{n}}_{\sigma K}.$$



$$\begin{cases} T_{Q_{K,K^*}}(D^D u^T, \delta) \vec{n}_{\sigma^*K^*} = T_{Q_{K,L^*}}(D^D u^T, \delta) \vec{n}_{\sigma^*K^*} \\ T_{Q_{L,K^*}}(D^D u^T, \delta) \vec{n}_{\sigma^*K^*} = T_{Q_{L,L^*}}(D^D u^T, \delta) \vec{n}_{\sigma^*K^*} \\ T_{Q_{K,K^*}}(D^D u^T, \delta) \vec{n}_{\sigma K} = T_{Q_{L,K^*}}(D^D u^T, \delta) \vec{n}_{\sigma K} \\ T_{Q_{K,L^*}}(D^D u^T, \delta) \vec{n}_{\sigma K} = T_{Q_{L,L^*}}(D^D u^T, \delta) \vec{n}_{\sigma K} \end{cases}$$

$$\Leftrightarrow \underbrace{\sum_{Q \in \Omega_D} m_Q T_Q(D^D u^T, \delta) B_Q}_{\in \mathcal{M}_{2,4}(\mathbb{R})} = 0.$$

$$(\star) \begin{cases} \sum_{\mathcal{Q} \in \Omega_{\mathcal{D}}} m_{\mathcal{Q}} \tau_{\mathcal{Q}} (D^{\mathcal{D}} \mathbf{u}^{\mathcal{T}}, \delta) B_{\mathcal{Q}} = 0, \\ \text{Tr}(B_{\mathcal{Q}} \delta^{\mathcal{D}}) = 0, \forall \mathcal{Q} \subset \mathcal{D}, & \sum_{\mathcal{Q} \in \Omega_{\mathcal{D}}} m_{\mathcal{Q}} p^{\mathcal{Q}} = m_{\mathcal{D}} p^{\mathcal{D}}. \end{cases}$$

PROPOSITION (K. 09)

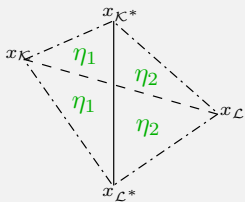
Pour tout $\mathcal{D} \in \mathfrak{D}$ et tout $(D^{\mathcal{D}} \mathbf{u}^{\mathcal{T}}, p^{\mathcal{D}}) \in \mathcal{M}_{2,2}(\mathbb{R}) \times \mathbb{R}$, il existe un $\delta = (\delta^{\mathcal{D}}, \mathbf{p}_{\mathcal{D}}^{\mathfrak{D}}) \in \mathcal{M}_{4,2}(\mathbb{R}) \times \mathbb{R}^4$ vérifiant (\star) .

Unicité plus délicate.

SI η EST CONSTANTE SUR LE DIAMANT

$$\begin{aligned} &\implies \delta^{\mathcal{D}} = 0, \mathbf{p}_{\mathcal{D}}^{\Omega} = p^{\mathcal{D}} \\ \rightsquigarrow & \mathbf{D}_{\mathcal{Q}}^{\mathcal{N}} \mathbf{u}^{\mathcal{T}} = \mathbf{D}^{\mathcal{D}} \mathbf{u}^{\mathcal{T}}, \text{ et } \tau_{\mathcal{Q}}(\mathbf{D}^{\mathcal{D}} \mathbf{u}^{\mathcal{T}}, \delta) = \tau_{\mathcal{D}}(\mathbf{D}^{\mathcal{D}} \mathbf{u}^{\mathcal{T}}, p^{\mathcal{D}}), \forall \mathcal{Q}. \end{aligned}$$

SI η EST CONSTANTE PAR MAILLES PRIMALES



Calculs avec **MAPLE**.

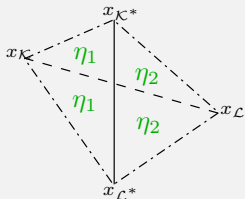
$$\delta_K = \delta_L = 0$$

$$\delta_{K^*} = \delta_{L^*} = - \frac{m_{\mathcal{Q}_{K,K^*}} m_{\mathcal{Q}_{L,K^*}} (\eta_1 - \eta_2) \mathbf{D}^{\mathcal{D}} \mathbf{u}^{\mathcal{T}} \bar{\mathbf{n}}_{\sigma K} \cdot \vec{\tau}_{K,L}}{\eta_2 m_{\mathcal{Q}_{K,K^*}} + \eta_1 m_{\mathcal{Q}_{L,K^*}}} \vec{\tau}_{K,L}$$

$$p_{\mathcal{Q}_{K,K^*}} = p_{\mathcal{Q}_{K,L^*}} = p^{\mathcal{D}} + 2(\eta_1 - \eta_2) \mathbf{D}^{\mathcal{D}} \mathbf{u}^{\mathcal{T}} \bar{\mathbf{n}}_{\sigma K} \cdot \bar{\mathbf{n}}_{\sigma K} \frac{m_{\mathcal{Q}_{L,K^*}}}{m_{\mathcal{Q}_{K,K^*}} + m_{\mathcal{Q}_{L,K^*}}},$$

$$p_{\mathcal{Q}_{L,K^*}} = p_{\mathcal{Q}_{L,L^*}} = p^{\mathcal{D}} - 2(\eta_1 - \eta_2) \mathbf{D}^{\mathcal{D}} \mathbf{u}^{\mathcal{T}} \bar{\mathbf{n}}_{\sigma K} \cdot \bar{\mathbf{n}}_{\sigma K} \frac{m_{\mathcal{Q}_{K,K^*}}}{m_{\mathcal{Q}_{K,K^*}} + m_{\mathcal{Q}_{L,K^*}}}.$$

SI η EST CONSTANTE PAR MAILLES PRIMALES



$$\text{Harmonique} = \frac{(h_1 + h_2)\eta_1\eta_2}{h_2\eta_1 + h_1\eta_2}$$

$$\text{Arithmétique} = \frac{h_1\eta_1 + h_2\eta_2}{h_1 + h_2}$$

$$\begin{aligned} \tau_D^{\mathcal{N}} \left(\left(\begin{pmatrix} \alpha & \gamma \\ \gamma & \beta \end{pmatrix}, p^{\mathcal{D}} \right) \right) &= \frac{1}{m_D} \sum_{Q \subset D} m_Q \tau_Q \left(\left(\begin{pmatrix} \alpha & \gamma \\ \gamma & \beta \end{pmatrix}, \delta \right) \right), \\ &= 2 \begin{pmatrix} A\alpha & \mathbf{H}\gamma \\ \mathbf{H}\gamma & A\beta \end{pmatrix} - p^{\mathcal{D}} \text{Id}, \text{ dans le repère } (\vec{\mathbf{n}}_{\sigma_K}, \vec{\mathbf{T}}_{K^*, L^*}), \end{aligned}$$

$$\text{à la place de } \tau_D \left(\left(\begin{pmatrix} \alpha & \gamma \\ \gamma & \beta \end{pmatrix}, p^{\mathcal{D}} \right) \right) = 2\eta_D \begin{pmatrix} \alpha & \gamma \\ \gamma & \beta \end{pmatrix} - p^{\mathcal{D}} \text{Id}.$$

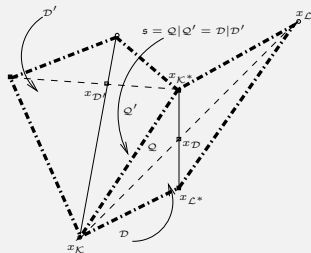
CAS D'UN MAILLAGE CARTÉSIEN : généralisation du schéma MAC.

(Harlow, Welch '65)

$$\text{(S-m-DDFV)} \left\{ \begin{array}{l}
 \text{Trouver } \mathbf{u}^{\mathcal{T}} \in \mathbb{E}_0 \text{ et } p^{\mathcal{D}} \in \mathbb{R}^{\mathcal{D}} \text{ tels que,} \\
 \operatorname{div}^{\mathfrak{m}} \left(-\tau_{\mathcal{D}}^{\mathcal{N}} \left(D^{\mathcal{D}} \mathbf{u}^{\mathcal{T}}, p^{\mathcal{D}} \right) \right) = \mathbf{f}^{\mathfrak{m}}, \\
 \operatorname{div}^{\mathfrak{m}*} \left(-\tau_{\mathcal{D}}^{\mathcal{N}} \left(D^{\mathcal{D}} \mathbf{u}^{\mathcal{T}}, p^{\mathcal{D}} \right) \right) = \mathbf{f}^{\mathfrak{m}*}, \\
 \operatorname{div}^{\mathcal{D}} \mathbf{u}^{\mathcal{T}} - \lambda h_{\mathcal{D}}^2 \underline{\Delta}^{\mathcal{D}} p^{\Omega} = 0, \\
 \sum_{\mathcal{D} \in \mathcal{D}} m_{\mathcal{D}} p^{\mathcal{D}} = 0,
 \end{array} \right.$$

avec

$$\underline{\Delta}^{\mathcal{D}} p^{\Omega} = \frac{1}{m_{\mathcal{D}}} \sum_{\substack{s=Q|Q' \\ =\mathcal{D}|\mathcal{D}' \in \mathcal{E}_{\mathcal{D}}}} \frac{h_{\mathcal{D}}^2 + h_{\mathcal{D}'}^2}{h_{\mathcal{D}}^2} (p^{Q'} - p^Q).$$



Stabilisation à la Brezzi-Pitkäranta par quart de diamant.

THÉORÈME

Soit \mathcal{T} un maillage DDFV.

Il existe une **unique** solution $(\mathbf{u}^{\mathcal{T}}, p^{\mathcal{Q}})$ au schéma S-m-DDFV. On suppose que η est Lipschitzienne sur chaque quart de diamant.

Si \mathbf{u}, p sont réguliers sur chaque quart de diamant \mathcal{Q} , on a

$$\|\mathbf{u} - \mathbf{u}^{\mathcal{T}}\|_2 + \|\nabla \mathbf{u} - \nabla_{\mathcal{N}}^{\mathcal{Q}} \mathbf{u}^{\mathcal{T}}\|_2 \leq C \text{size}(\mathcal{T}),$$

et

$$\|p - p^{\mathcal{Q}}\|_2 \leq C \text{size}(\mathcal{T}).$$

On a besoin de :

- Nouvelle inégalité de Korn discrète.

$$\|\nabla_{\Omega}^{\mathcal{N}} \mathbf{u}^{\mathcal{T}}\|_2 \leq C \|\mathbf{D}_{\Omega}^{\mathcal{N}} \mathbf{u}^{\mathcal{T}}\|_2.$$

↪ Difficultés dues aux inconnues artificielles.

- Comparaisons entre les anciens et les nouveaux opérateurs.
- Théorème de stabilité.

↪ Difficultés dues à la stabilisation par quart de diamant.

- **Erreur de consistance.** Si (\mathbf{u}, p) est régulière sur chaque quart de diamant \mathcal{Q} , la difficulté est

$$\sum_{\mathcal{Q} \subset \mathcal{D}} \int_{\mathcal{Q}} |\mathbf{D}\mathbf{u}(z) - \mathbf{D}_{\mathcal{Q}}^{\mathcal{N}} \mathbb{P}_{\mathcal{c}}^{\mathcal{T}} \mathbf{u}(z)|^2 dz \leq Ch_{\mathcal{D}}^2 \sum_{\mathcal{Q} \subset \mathcal{D}} \int_{\mathcal{Q}} (|\nabla \mathbf{u}|^2 + |\nabla^2 \mathbf{u}|^2 + |\nabla \mathbf{p}|^2) dz.$$

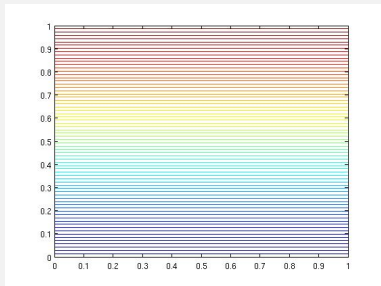
↪ **Hypothèse supplémentaire** pour obtenir la même inégalité avec

$$\sum_{\mathcal{Q} \subset \mathcal{D}} \int_{\mathcal{Q}} |\nabla \mathbf{u}(z) - \nabla_{\mathcal{Q}}^{\mathcal{N}} \mathbb{P}_{\mathcal{c}}^{\mathcal{T}} \mathbf{u}(z)|^2 dz.$$

$$\mathbf{u}(x, y) = \begin{pmatrix} \begin{cases} y^2 - 0.5y & \text{pour } y > 0.5 \\ 10^4(y^2 - 0.5y) & \text{sinon.} \end{cases} \\ 0 \end{pmatrix},$$

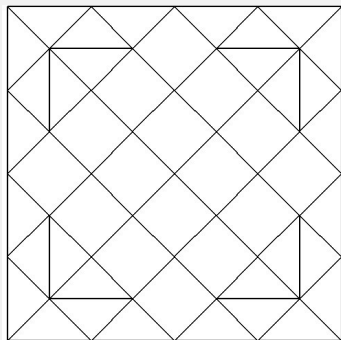
$$p(x, y) = 2x - 1,$$

$$\eta(x, y) = \begin{cases} 1 & \text{pour } y > 0.5 \\ 10^{-4} & \text{sinon.} \end{cases}$$



Lignes de courant

Maillage Primal



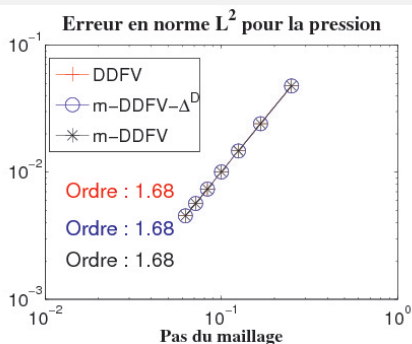
↪ \mathcal{D} respecte la discontinuité

m-DDFV = S-m-DDFV.

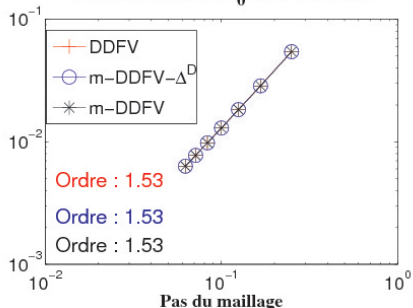
m-DDFV- $\Delta^{\mathcal{D}}$ = on remplace la conservation de la masse

$\text{div}^{\mathcal{D}} \mathbf{u}^{\mathcal{T}} - \lambda h_{\mathcal{D}}^2 \underline{\Delta}^{\mathcal{D}} \mathbf{p}^{\Omega} = 0$, par $\text{div}^{\mathcal{D}} \mathbf{u}^{\mathcal{T}} - \lambda h_{\mathcal{D}}^2 \Delta^{\mathcal{D}} p^{\mathcal{D}} = 0$.

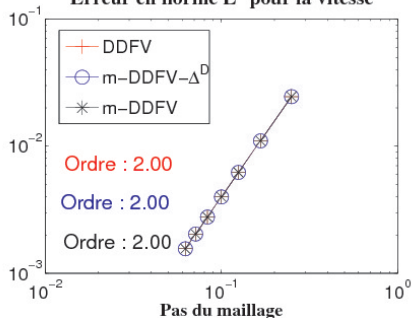
$$\frac{\|\mathbb{P}_c^{\Omega} p - p^{\Omega}\|_2}{\|\mathbb{P}_c^{\Omega} p\|_2}$$



$$\frac{\|\mathbb{P}_c^\Omega \nabla \mathbf{u} - \nabla_{\mathcal{N}}^\Omega \mathbf{u}^\mathcal{T}\|_2}{\|\mathbb{P}_c^\Omega \nabla \mathbf{u}\|_2}$$

Erreur en norme H_0^1 pour la vitesse

$$\frac{\|\mathbb{P}_c^\mathcal{T} \mathbf{u} - \mathbf{u}^\mathcal{T}\|_2}{\|\mathbb{P}_c^\mathcal{T} \mathbf{u}\|_2}$$

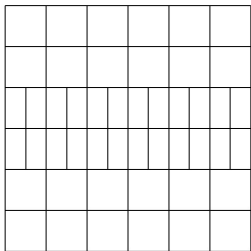
Erreur en norme L^2 pour la vitesse

m-DDFV = S-m-DDFV.

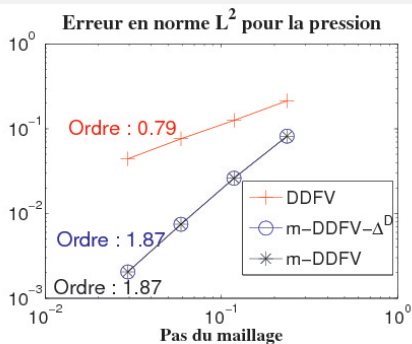
m-DDFV- Δ^D = on remplace la conservation de la masse

$\text{div}^\mathcal{D} \mathbf{u}^\mathcal{T} - \lambda h_\mathcal{D}^2 \underline{\Delta}^\mathcal{D} \mathbf{p}^\Omega = 0$, par $\text{div}^\mathcal{D} \mathbf{u}^\mathcal{T} - \lambda h_\mathcal{D}^2 \underline{\Delta}^\mathcal{D} p^\mathcal{D} = 0$.

Maillage Primal



$$\frac{\|\mathbb{P}_c^\Omega p - p^\Omega\|_2}{\|\mathbb{P}_c^\Omega p\|_2}$$

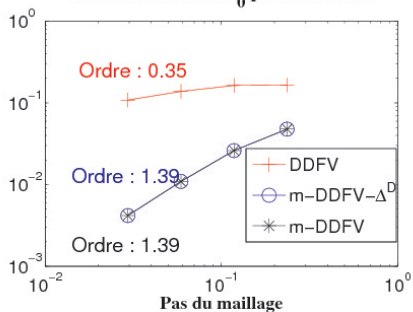


m-DDFV = S-m-DDFV.

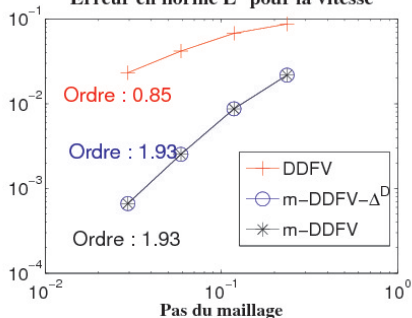
m-DDFV- Δ^D = on remplace la conservation de la masse

$\text{div}^D \mathbf{u}^T - \lambda h_D^2 \underline{\Delta}^D \mathbf{p}^\Omega = 0$, par $\text{div}^D \mathbf{u}^T - \lambda h_D^2 \Delta^D p^D = 0$.

$$\frac{\|\mathbb{P}_c^\Omega \nabla \mathbf{u} - \nabla_{\mathcal{N}}^\Omega \mathbf{u}^\mathcal{T}\|_2}{\|\mathbb{P}_c^\Omega \nabla \mathbf{u}\|_2}$$

Erreur en norme H_0^1 pour la vitesse

$$\frac{\|\mathbb{P}_c^\mathcal{T} \mathbf{u} - \mathbf{u}^\mathcal{T}\|_2}{\|\mathbb{P}_c^\mathcal{T} \mathbf{u}\|_2}$$

Erreur en norme L^2 pour la vitesse

m-DDFV = S-m-DDFV.

m-DDFV- Δ^D = on remplace la conservation de la masse

$\text{div}^\Omega \mathbf{u}^\mathcal{T} - \lambda h_\Omega^2 \underline{\Delta}^\Omega \mathbf{p}^\Omega = 0$, par $\text{div}^\Omega \mathbf{u}^\mathcal{T} - \lambda h_\Omega^2 \Delta^\Omega p^\Omega = 0$.

Nombre total d'inconnues	DDFV	m-DDFV- Δ^D	m-DDFV
392	3 863	3 863	3 959
1 358	14 421	14 421	14 613
5 018	55 551	55 551	55 935
19 250	217 881	217 881	218 645
75 362	862 847	862 847	864 373

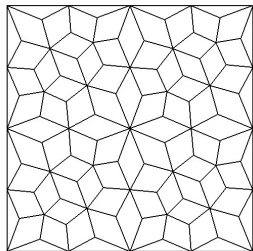
$$\eta(x, y) = \begin{cases} \eta_1 = 10^2 & \text{si } x \leq 0.5, \\ \eta_2 = 10^{-2} & \text{sinon.} \end{cases}$$

On note $c = -\frac{\eta_2 \pi}{\eta_1 + 0.5 \eta_2 \pi}$.

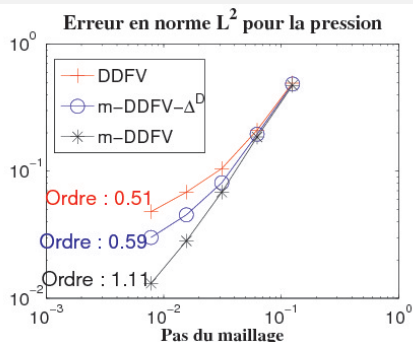
$$\mathbf{u}(x, y) = \begin{pmatrix} \begin{cases} (x - 0.5)(cx + \sin(5.0\pi x)) \frac{4.0\pi \cos(4.0\pi y)}{0.5c + 1}, & \text{si } x \leq 0.5, \\ (x - 0.5)(\cos(\pi x) + 1)4.0\pi \cos(4.0\pi y), & \text{sinon.} \end{cases} \\ \begin{cases} -(cx + \sin(5.0\pi x) + (x - 0.5)(c + 5.0\pi \cos(5.0\pi x))) \frac{\sin(4.0\pi y)}{0.5c + 1}, & \text{si } x \leq 0.5, \\ -(\cos(\pi x) + 1 - \pi(x - 0.5) \sin(\pi x)) \sin(4.0\pi y), & \text{sinon.} \end{cases} \end{pmatrix}$$

$$p(x, y) = \begin{cases} \cos(4\pi x) \sin(4\pi y) + 8.0\pi(\eta_1 - \eta_2) \cos(4\pi y), & \text{si } x \leq 0.5, \\ \cos(4\pi x) \sin(4\pi y), & \text{sinon.} \end{cases}$$

Maillage Primal



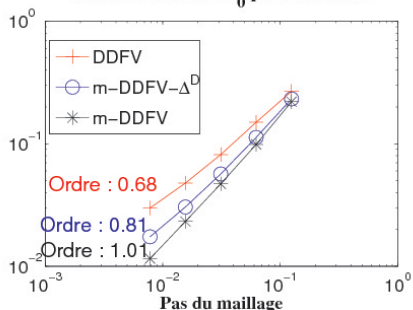
$$\frac{\|\mathbb{P}_c^\Omega p - p^\Omega\|_2}{\|\mathbb{P}_c^\Omega p\|_2}$$



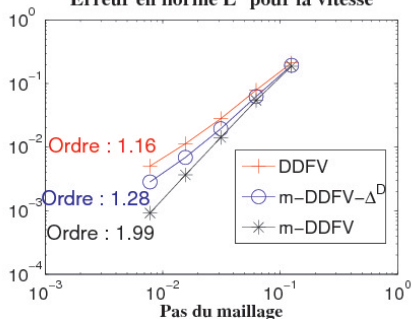
m-DDFV = S-m-DDFV.

m-DDFV- Δ^D = on remplace la conservation de la masse
 $\text{div}^\mathfrak{D} \mathbf{u}^\mathfrak{T} - \lambda h_\mathfrak{D}^2 \underline{\Delta}^\mathfrak{D} \mathbf{p}^\Omega = 0$, par $\text{div}^\mathfrak{D} \mathbf{u}^\mathfrak{T} - \lambda h_\mathfrak{D}^2 \Delta^\mathfrak{D} p^\mathfrak{D} = 0$.

$$\frac{\|\mathbb{P}_c^{\mathcal{D}} \nabla \mathbf{u} - \nabla_{\mathcal{N}}^{\mathcal{D}} \mathbf{u}^{\mathcal{T}}\|_2}{\|\mathbb{P}_c^{\mathcal{D}} \nabla \mathbf{u}\|_2}$$

Erreur en norme H_0^1 pour la vitesse

$$\frac{\|\mathbb{P}_c^{\mathcal{T}} \mathbf{u} - \mathbf{u}^{\mathcal{T}}\|_2}{\|\mathbb{P}_c^{\mathcal{T}} \mathbf{u}\|_2}$$

Erreur en norme L^2 pour la vitesse

m-DDFV = S-m-DDFV.

m-DDFV- $\Delta^{\mathcal{D}}$ = on remplace la conservation de la masse

$\text{div}^{\mathcal{D}} \mathbf{u}^{\mathcal{T}} - \lambda h_{\mathcal{S}}^2 \underline{\Delta}^{\mathcal{D}} \mathbf{p}^{\mathcal{R}} = 0$, par $\text{div}^{\mathcal{D}} \mathbf{u}^{\mathcal{T}} - \lambda h_{\mathcal{S}}^2 \Delta^{\mathcal{D}} p^{\mathcal{D}} = 0$.

Nombre total d'inconnues	DDFV	m-DDFV- $\Delta^{\mathcal{P}}$	m-DDFV
2 226	39 363	39 379	39 443
8 674	159 763	159 797	159 927
34 242	644 019	644 093	644 363
136 066	2 586 355	2 586 495	2 587 120
542 466	10 366 323	10 366 645	10 368 019

- 1 L'APPROCHE DDFV POUR LE PROBLÈME DE STOKES
- 2 LE PROBLÈME AVEC VISCOSITÉ DISCONTINUE
- 3 CONCLUSION

- Grâce à un **terme de stabilisation**, l'approche DDFV a toutes les bonnes propriétés attendues :
 - **Système bien posé** et stable sur des maillages très généraux.
 - **Estimations d'erreur** :
 - Ordre 1 en pression en norme L^2 .
 - Ordre 1 en vitesse en norme H^1 .
 - Numériquement : ordre 2 en vitesse en norme L^2 .
 - Implémentation facile **en parcourant les arêtes (=les diamants)**.
- **Viscosité discontinue** : on garde les bonnes propriétés en adoptant **l'approche S-m-DDFV**.

Celle-ci est assez lourde sur le papier mais numériquement indolore.

PRISE EN COMPTE DU TERME NON-LINÉAIRE $(\mathbf{u} \cdot \nabla)\mathbf{u}$ EN 2D

(K. '11)

- Discrétisation des équations de Navier-Stokes instationnaires.
- Approximation du terme non-linéaire en utilisant les flux de masse (prenant compte la stabilisation) pour définir le terme d'inertie (inspiré de (Eymard-Gallouët-Herbin-Latché '05)).
- Première étude avec les estimations d'énergie.
- Reste à faire l'étude de la convergence.

$$\mathbf{u} = \begin{pmatrix} -\cos(2\pi x) \sin(2\pi y) e^{-2t} \\ \sin(2\pi x) \cos(2\pi y) e^{-2t} \end{pmatrix}, \quad p = -\frac{1}{4}(\cos(4\pi x) + \cos(4\pi y)) e^{-4t}.$$

$\Omega =]0, 1[^2$ avec le maillage en damier, avec $T = 1$ et $\delta t = 10^{-2}$.

NbCell	Ervel	Ratio	Ergradvel	Ratio	Erpre	Ratio
208	2.804E-02	-	8.508E-02	-	1.526E+00	-
736	6.761E-03	2.052	4.309E-02	0.9815	6.574E-01	1.215
2752	1.803E-03	1.907	2.158E-02	0.9973	3.237E-01	1.022
10624	6.045E-04	1.577	1.079E-02	1.001	1.633E-01	0.9874

EXTENSIONS À PLUS LONG TERMES DANS CE DOMAINE

- Conditions aux limites en contrainte ou sauts de contrainte dans le système (tension de surface).
 - Conditions faciles en prendre en compte dans le schéma.
 - Difficulté dans l'inégalité de Korn.
- Dépendance non-linéaire de la viscosité en fonction de $D\mathbf{u}$ (fluides non newtoniens).
 - Les méthodes DDFV sont un cadre approprié pour ce genre de problème (voir modèle de Leray-Lions dans **(Boyer-Hubert '08)**).
- Poursuivre l'extension des différents résultats en 3D.